

268839

基本館藏

高等学校教学用書

电力鉄道机車車輛

第二卷 下 册

П·Н·史丽雅賈托 合著
Д·Д·杂哈尔 陈闇



人民鐵道出版社

12
17

高等学校教学用書
電力鐵道機車車輛

第二卷 下冊

П·Н·史麗雅賀托 合著
Д·Д·杂哈爾陳閣
唐山鐵道學院電機系譯

人民鐵道出版社

一九六〇年·北京

本冊系根据苏联国家鉄路运输出版社1951年出版之 П. Н. 史丽雅賀托及 Д. Д. 泽哈爾陳闊所著之“电力鉄道机車車輛”第二卷第五~十一章譯出。原書共分三卷，并經苏联高等教育部批准为高等學校之教材参考書，本卷上冊譯本及第一和三卷譯本均已出版。

本冊內容叙述牽引电动机的通风、发热和冷却原理、方法及計算、直流牽引电动机的设计理論及計算示例、电力机車車輛輔助机的功能、結構和牽引电动机、輔助电机的試驗，以及單相整流子电动机的計算原理等。

本冊为高等學校电气化专业的教材，并可供电气化鉄道工程师、技术員以及从事矿山电力鉄道的技术人員的业务参考。

电力鉄道机車車輛

第二卷 下 册

ПОДВИЖНОЙ СОСТАВ ЭЛЕКТРИЧЕСКИХ
ЖЕЛЕЗНЫХ ДОРОГ ТОМ II

苏联 П. Н. ШЛЯХТО Д. Д. ЗАХАРЧЕНКО 著
苏联国家鉄路运输出版社 (1951年莫斯科俄文版)

ТРАНСЖЕЛДОРИЗДАТ Москва 1951

唐山鐵道学院电机系譯

人民鉄道出版社出版

(北京市霞公府17号)

北京市書刊出版業营业許可證出字第010号

新华书店发行

人民鉄道出版社印刷厂印

書号1632 开本787×1092_{1/16} 印張12_{1/2} 插頁2 字數300千

1960年2月第1版

1960年2月第1版第1次印制

印数 6,001—1,050 冊 定价 (9) 1.40 元

目 录

第五章 牵引电动机的通风

I、通 风 系 统

§ 74. 通风总論	1
§ 75. 独立通风	3
§ 76. 自通风	3
§ 77. 电枢的通风器	7

II、通 风 特 性

牵引电动机通风系统的特性	10
--------------	----

第六章 牵引电动机的发热和冷却

I、发 热 过 程 和 发 热 定 额

§ 80. 关于发热和冷却的一般知識	19
§ 80. 发热定額	21
§ 81. 物体发热和冷却的基本概念和原理	22
§ 82. 物体的发热和冷却过程	28

II、牵 引 电 动 机 的 发 热 过 程

§ 83. 牵引电动机的发热和冷却过程	32
§ 84. 当量热路法应用到电机的发热研究	36

第七章 直流牵引电动机的设计

I、电 机 设 计 的 基 本 原 理 及 其 主 要 参 数 的 计 算

§ 85. 牵引电动机设计及计算的概述	40
§ 86. 设计的原始数据	42
§ 87. 电枢参数的确定	43
§ 88. 电枢转速的确定	43
§ 89. 齿轮传动参数的确定	44

II、电 磁 系 统 的 计 算

§ 90. 电枢繞組的計算	48
---------------	----

§ 91.	确定齿和槽子的尺寸	53
§ 92.	电枢绕组的重量和电阻	54
§ 93.	整流子与电刷的计算	54
§ 94.	磁路的计算	55
§ 95.	整流的计算	67
§ 96.	附加极的计算	71

III、特性的計算

§ 97.	电动机损耗和效率的计算	74
§ 98.	附加损耗的计算	76
§ 99.	牵引电动机运转特性的绘制	79

IV、通风及发热的計算

§100.	通风计算的原理	81
§101.	用归算损耗法计算牵引电动机的发热	85
§102.	用热线路法计算牵引电动机的发热	94

V、牵引电动机零件的結構計算

§103.	电动机轴承轴瓦的计算	98
§104.	牵引电动机轴的计算	99
§105.	小齿轮配合到轴圆锥的计算	106
§106.	电枢轴承的计算	108
§107.	槽楔的计算	108
§108.	电枢绕组槽数的计算	111
§109.	电枢套管的计算	113
§110.	极的固定计算	118
§111.	整流子的计算	119

第八章 直流牵引电动机的计算示例

§112.	设计题目	126
-------	------------	-----

I、齒輪传动和电动机基本参数的計算

§113.	齿轮传动参数的确定	127
-------	-----------------	-----

II、电动机电磁系統的計算

§114.	电枢绕组的计算	128
§115.	槽和齿尺寸的确定	131

§116.	磁路計算	132
§117.	主极綫卷的計算	135
§118.	整流子和電刷的計算	135
§119.	整流計算	136
§120.	附加極的計算	137
§121.	附加極綫卷的計算	138
§122.	求電樞繞組的電阻和銅重	138

III、特 性 計 算

§123.	电动机損耗和效率的計算	139
§124.	电动机的特性	140

IV、电动机通风和发热的計算

§125.	通风計算	142
§126.	电樞繞組發熱計算	144

* 第九章 电力机車車輛的輔助机

I、輔助机的工作及其主要参数

§127.	輔助机的功用	147
§128.	电动通风机	150
§129.	电动压缩机	151
§130.	伺服发电机	152
§131.	分压机	154
§132.	激磁电动发电机	157

II、輔助机构造的特点

§133.	總論	157
§134.	电动通风机的构造	158
§135.	电动压缩机的构造	162
§136.	电动发电机和伺服发电机的构造	167
§137.	分压机的构造	171
§138.	激磁电动发电机的构造	172

* 第十章 牽引电动机及輔助电机的試驗

I、試驗的特征及試驗線路

§139.	試驗的概述	175
§140.	受試牽引电动机的负载及試驗線路	177

§141.	用升压机的反饋負載法的試驗線路.....	178
§142.	不用升压机的負載線路圖.....	181
§143.	牽引電動機的檢查試驗.....	182

II、試 驗 方 法

§144.	特性的求取.....	184
§145.	損耗和效率的確定.....	185
§146.	電刷接觸損耗的試驗測定法.....	186
§147.	附加損耗的測定.....	187
§148.	整流試驗.....	188
§149.	發熱試驗.....	191
§150.	通風試驗.....	195

第十一章 単相整流子電動機的計算原理

§151.	概述.....	198
§152.	牽引電動機主要參數的確定.....	199
§153.	電樞繞組的計算.....	202
§154.	磁路計算的基本數據.....	203
§155.	整流計算.....	206
§156.	定子繞組的計算.....	208
§157.	繞組感抗的計算.....	209
§158.	電動機向量圖的作法.....	212

附录:

- I. 直流牽引電動機的主要數據
- II. 幫助機的主要數據
- III. 电力机車的JF3-400A型牽引電動機
- IV. C₁系列摩托車輛的JK-103A型牽引電動機
- V. 地下鐵道I系列摩托車輛的JK-102型牽引電動機
- VI. 地下鐵道I系列摩托車輛的JK-104型牽引電動機

參考文獻

第五章 牵引电动机的通风

I. 通 风 系 统

§74. 通 风 总 论

要提高牵引电动机的容量必需利用人工冷却——电动机各部份的通风。

同样大小的无通风的电动机与有通风的电动机担负同一工作时，则前者各部份的温度高得多。这种温升对繞組的絕緣可能是危險的，亦可能給予各种零件的变形以很大的影响（参看第六章）。

因此，电力机車、車輛上的現代化巨型牵引电动机，仅当它被强烈的通风时，才能作正常的运转。

苏联科学家們在建立电机通风的理論方面及創造效力高的通风型式方面，均已作过很多的工作。

在牵引电动机制造的領域中，A. E. 阿列克塞耶夫教授的工作是值得重視的，他指出了建立牵引电动机通风型式的原則，并提出了一系列新的型式。

牵引电动机的制造正沿着增强通风效力的道路发展，牵引电动机的体积受限制而功率很大，因而增强通风效力就成为提高电机利用率的一个要素；通风的效力与通过电机通风系统的冷却气体的性能和数量都有关系，同时也与气体对发热表面的运动速率及此运动的特性有关。

依气体流动的特点，分为层流的和渦流的两种流动方式。

层流运动的特点是气流沿被冷却的表面平行流动。

气体的渦流运动的特点是产生渦流。渦流的程度与气体运动的速度和被冷却表面的情况有关（表面要是粗糙，气体会受到阻擋）。

在现代超功率的电机中，如象交流汽輪发电机，采用热容量較空气大的氢气来冷却。

这种通风需要密封的通风系統，要用冷却器，并要求完全沒有爆炸的危險。

牵引电动机不用氢气冷却的原因是由于电力机車上地位的限制和保持密封的困难，这主要是由于当运转时整流子产生的火花有引起爆炸的危险。

因此，牵引电动机只用空气冷却。

通常，冷却空气由外面进入，同时也由电动机向外排出。供牵引电动机冷却用的空气，最好用某种方法消除（过滤）灰尘、沙和雪。

按牵引电动机所采用的通风的型式，可分为两类：

(1) 独立通风的或外来通风的；

(2) 自通风的。

在独立通风时，冷却电动机内部空间的通风空气由特设的通风机送入。此通风机通常由单独的与牵引电动机无机械联系的电动机来拖动。

图 276 表示 ВЛ22^м 型电力机车上的牵引电动机的独立通风的简图。

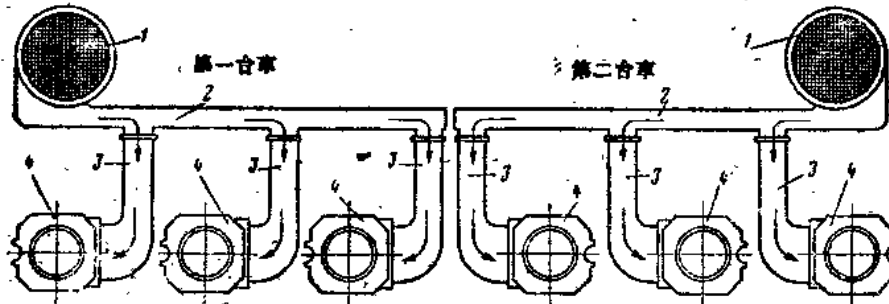


图 276. ВЛ22^м型电力机车的牵引电动机之通风简图：

1——通风机；2——车体内的通风道；3——通风道的联接管；4——牵引电动机

在自通风时，通风器是牵引电动机不可分割的一部份，它成为电动机的一个或几个零件，于是，电动机本身就是它自己的通风器的拖动者。

第一种构造的特点是通风机的运转情况与牵引电动机的运转情况无关。当用独立通风时，所供应的空气的数量、它的压力，以及通风空气供给的周期性都与电动机运转情况无关，并可任意调节。

相反地，在自通风时，通风器的运转是完全决定于电动机的运转情况。

这样，当电动机运转时，通风器的运转情况实际上不能调节。通过电动机的通风空气的体积，决定于通风器的构造及电枢转速时之空气动力特性。

独立通风系统需要附加的设备和放置外加的通风机的地方。因此，它主要是用于电力机车，自通风系统仅用于摩托车辆中。

表11介绍牵引电动机通风的空气耗量。

表11

次序	电动机型式	小时容量 (千瓦)	持续容量 (千瓦)	持续容量 对小时容量之比	通风系统	持续状态 时之通风空 气量 (米 ³ /秒)	每千瓦功 率之空气 量 (米 ³ /秒)	电动机 的用途	通风型式
1	ДПЭ-340	340	300	0.88	独立通风式	78	0.26	电力机车	并行的
2	ДПЭ-340А								
3	ДПЭ-400	400	340	0.85	"	78	0.23	"	"
4	ДП-150	150	115	0.76	自通风式	12	0.104	摩托车辆	串并行的
5	ДПИ-150	170	126	0.74	"	17.5	0.14	"	并行的
6	ДК-100А	198	134	0.71	"	8.5	0.064	"	串行的
7	ДМП-151	153	103	0.74	"	12.75	0.12	地下铁道	并行的
8	ГБМ-700	100	77	0.70	"	5.5	0.071	摩托车辆	"

电动机内部空气流的速度，根据牵引电动机运转的经验证明，在电压 900 伏以下的电动机中，惯常不超过 25 米/秒，在运转于较高电压的电动机中，不超过 16

米/秒。后者可以这样来解释，在高压电动机中，由于絕緣厚度的增加，则热的傳導变坏，故当銅的温度一样时，高压机絕緣表面之温度比在同样运转条件和同样絕緣級的低压机的絕緣表面的温度为低。通风空气散热的效力与空气流动的速度有关，在高压电动机中，因絕緣表面的温升較低，故空气速度靠近上述的数值（16米/秒）时，则散热更为有效。

§75. 独立通风

所有独立通风的电动机，現在都只用强压式的通风系統。在电动机内部的空气流与在自通风式中的一样（图277），分为两路平行气流，其中的一路冲洗着极的錢圈、极和电枢之間的空隙和整流子的表面。另一路沿着电枢鐵芯內的和整流子下的通风道流过。空气流按照这种型式分布的系統叫做平行式的通风系統。

在直流电动机中，虽然也遇見有由整流子的对面输入空气的，但大多数还是由整流子这边将通风空气送入电机。在单相电动机中，通风空气多半由整流子的对面輸入，而由整流子这边流出。其原因是因為必須由电动机里排除因炭刷磨损而分出的炭粉。

空气由整流子方面进入則可能利用整流子处的空間，使电动机內的平行气流更均匀的分布。

当空气由整流子的对面进入时，多半是没有这种分配空間的，在这种情况下，就必须在整流子这边的电枢上安装特別的分配通风扇，其功用是均匀的分布空气流于电动机的所有内部空間中。这种通风的例子，如图278所示。在有些情况下（图279），企图改善电动机內气流的分布，使电枢內部的冷却和外部的冷却經過两条独立的通风沟；分开地送入空气。这种系統較为复杂，致使其不能广泛的普及。

由車輛上的通风沟将通风空气引入电动机是用彈簧箱或可弯曲的联接管，由上面或旁边引入。在后面的一种情况中，通风道常常是放在台車的固定架間。出孔則分布在机器的机座和軸承护板上。由于电动机的内部空間当强压通风时有附加的压力，所以灰尘和雪經过出孔而侵入的危險是不大的，通常仅以大的網柵來保护出孔。

§76. 自通风

自通风电动机的通风系統比之独立通风的电动机要复杂得多。这些困难是由于：装在电动机电枢上的通风器的速度不稳定，在运用时通风器的旋转方向要改变，以及建立强压通风系統的困难，亦即防止污物和雪侵入电动机的困难，在自通风时，平行通风系統应用得最广。

在这种系統中（图277和280），空气因通风器的作用而經过孔1从电动机里排出。

由于这个結果，电动机内部发生了抽气作用，因而使得空气經过船孔2从外

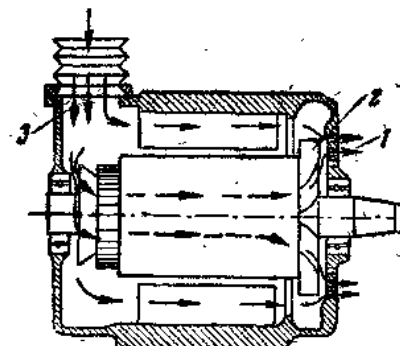


图277. 牽引电动机平行式通风的簡圖

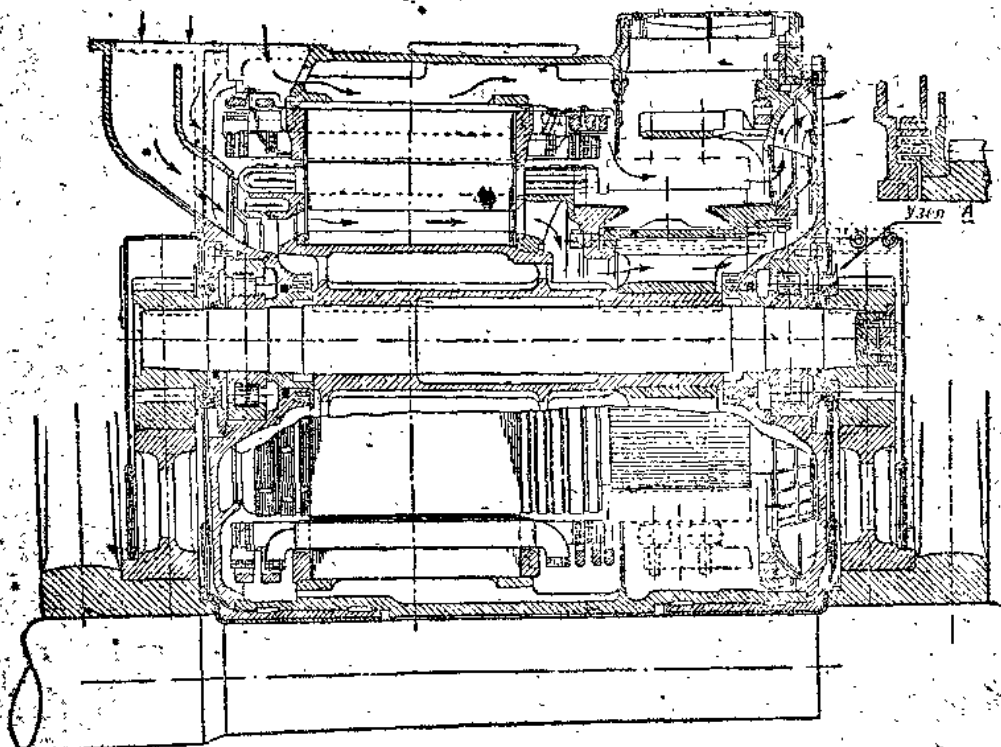


图278. 单相整流子电动机的通风气流图

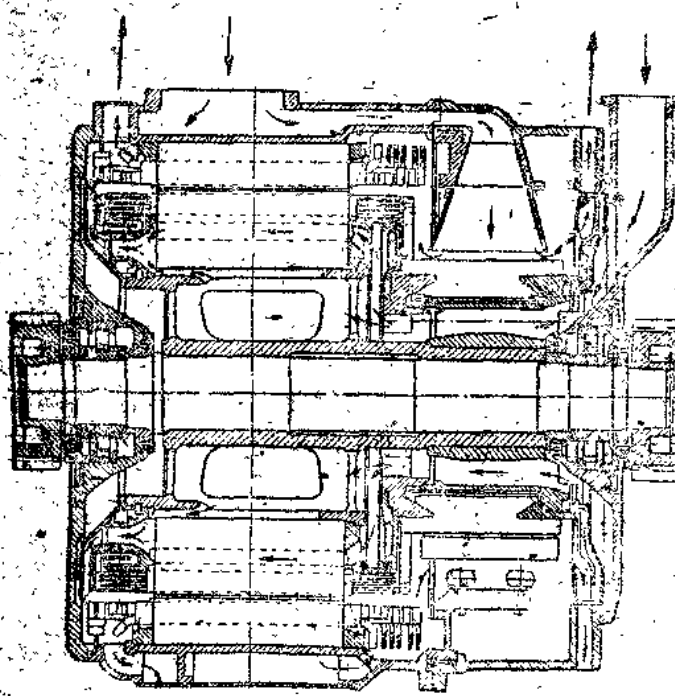


图279. 单相整流子电动机的高压通风图

流入。于是在电动机中空气流形成两平行的分路通过下列各部份：极間的通风道和极与极之間的空間，以及經過电枢鉄芯里的通风道。很明显地，按在电动机中空气流的方向來說，这个方式与独立輸送通风空气的平行通风方法很少区别。但与独立通风不同者，在于电动机内有抽气作用，这就促使灰尘和雪侵入电动机里，特别是經過不紧密的地方（主要經過整流子的覈察孔蓋的漏隙处）。

在这方面最有效的保护方法是在从車頂上下来

的通风道中装空气棚。这种通风系统的简图如图 281 所示。进入牵引电动机的空气经过车顶上的孔 1 进入位于车顶下的特别沉淀室内。由于沉淀室的容积很大，气流在它里面的速度就很快的降低，因此，所有悬浮的杂质都由空气中沉淀下来。再放分隔栅 3 于垂直通风道的入口处及柔韧的联接管 4 的入口处来帮助这个沉淀过程。

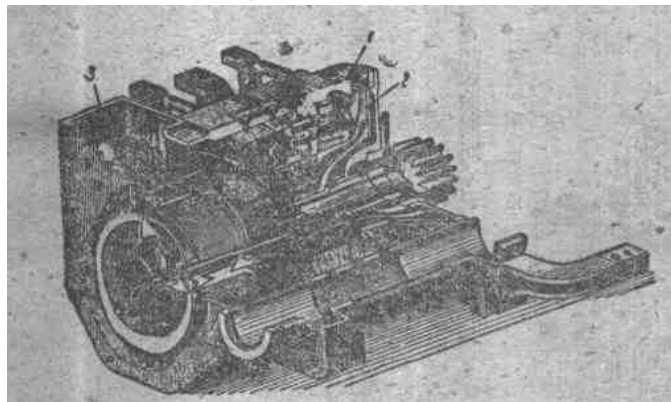


图280. 在牵引电动机几MI-150上，
通风器和通风孔的布置图

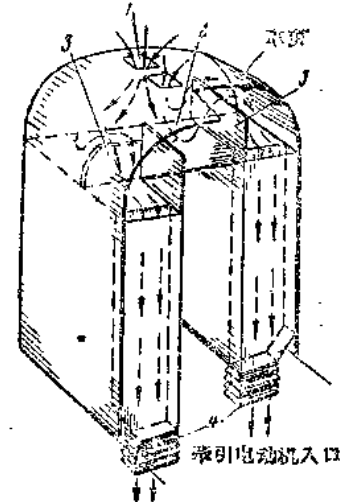


图281. 冷却摩托车上用的牵引
电动机用的通风道简图

于某种情况，当这种系统因为某种缘故不可能实现时，则保护装置安装在电动机本身上（图 282）。

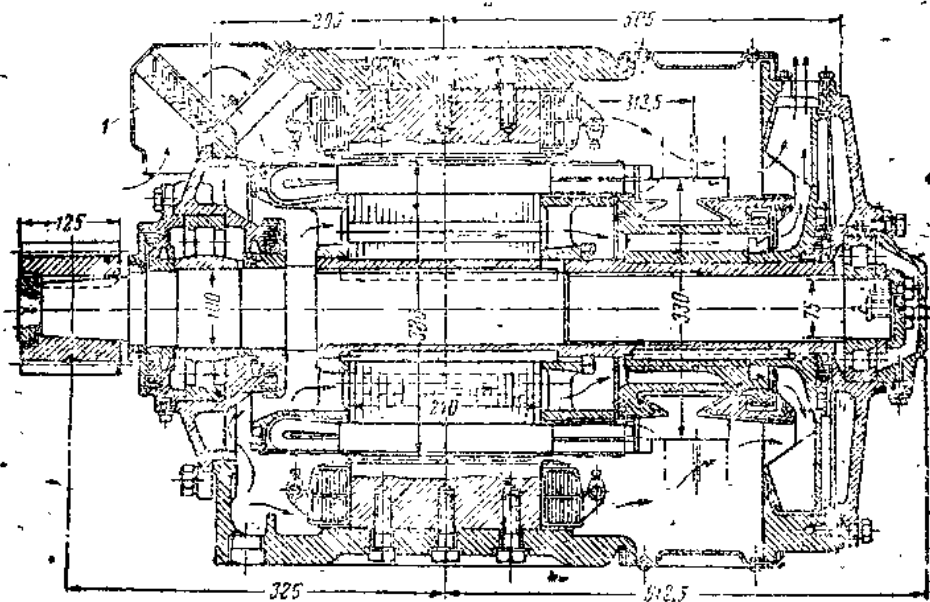


图282. 有过滤器的牵引电动机 (GBM-760) 的平行通风简图

在这种构造中，为了清洗进入的通风空气，用特设的过滤挡板 1。其作用原理是基于空气经过挡风板时很快改变自己的方向，因此，其中的固体微粒就沉淀下来，此外，在挡板下还设有阻止固体微粒的金属网。

拦住各种脏物的另一种方法，是大大的增加进入孔的面积以减低当空气进入电动机时的速度。

用平行通风系统的电动机，它的通风器可以装在整流子的一边，也可以装在整流子的对边。这些方法中，没有一个是极端优越的，因为不能解决主要的问题——在电动机内建立附加的压力。为了想消除这个缺点，因而创立了串联回风系统（图283）。

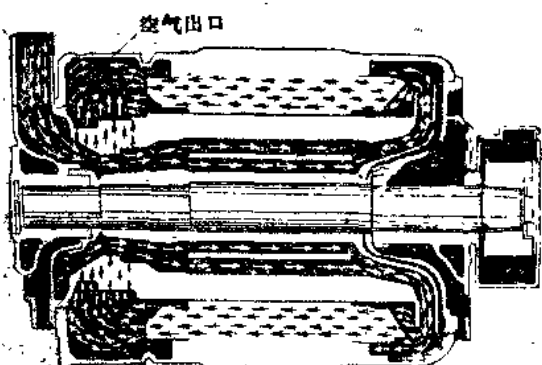


图283. 牵引电动机的串联通风简图

这种系统中，由于在整流子对边的通风器的作用，空气经过轴承护板旁的进出口管从整流子方面被吸入，并沿着整流子套管内的和电枢铁芯内的通风道流过。与平行通风系统的区别是通风器不立即将空气从电动机里排出，而以反气流的方向引导空气沿电枢表面并经过极间的空隙流通。电动机空气的出口安置于其入口的同一方面，即在整流子的一面。这样一来所有电动机内的空间，除电枢的通风沟外，都处于附加的压力之下。

上述系统比之平行通风系统虽有许多重要的优点，但也不免有若干缺陷，其中主要的是：冲洗电枢表面、线圈和整流子的空气，已经在通过电枢内部通风道时受过热了，致使冷却效力降低一些。另外的一个缺陷是：并列的导入管和整流子观察孔大大的受到了限制，特别是从车顶下来的通风沟中的通风空气量也受到了限制。在大容量的电动机中，考虑到严格的界限尺度的限制，则后者更具有特别的意义。

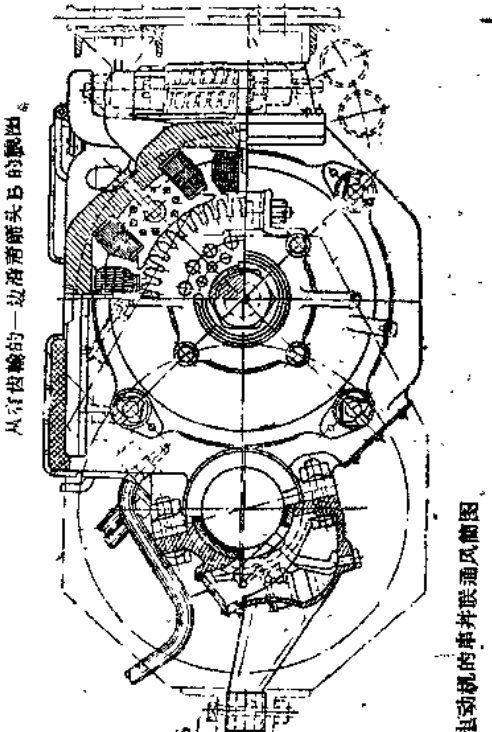
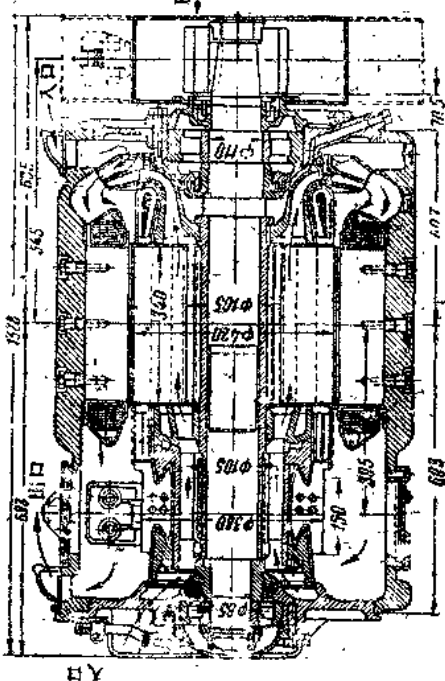


图284. ДТ-150型牵引电动机的串联回风简图



为了改善串联回风系統，以保証新洁的空气进入到极和电樞的表面，因而采用了串并联或复合通风系統。在干线上牵引的电动机只有强压的串联回风系統才有实际意义。

图 284 中，表示出具有这种通风系統的 ДП-150型电动机，机器以两路平行的气流通风，其中一个是主要的，一个辅助的。主流的方向是：由整流子边軸承护板上的进孔进入，沿着电樞内部的通风沟到强压通风器的一个小室，然后通风器把这些在線圈間和空气隙中的空气赶向整流子一边机座上的出孔去。通风器的第二个强压室，給在电樞通风道內受过热的空气补加新鲜空气，这些空气是經過位于整流子对面电动机座上的入孔而进入的。在苏联铁道上，具有这种通风系統的电动机运用的經驗証明，这种系統在防止雪侵入机器这一方面（特别是带辅助空气流的）是有缺陷的。这就使电动机有改为平行通风系統的必要。直接在机器本身上采用过滤器会形成很笨重的构造。用于串联回风的过滤器的例子于图 285 表出。过滤器使通向电动机軸承和电动机的其他零件大大受到限制，并且塞满了机車車輛的台車。

自通风的效力比独立通风低得多。这种系統中，持续容量和小时容量之比很少达到 0.8，大半是在 0.7~0.75 的范围内。而在独立通风中，这个比率在很多情况下都超过 0.9。由于电动机要在不同的方向运转，因此就不可能采用很好地符合气体动力性能的通风器。



图285. 在牽引电动机的入孔处，过滤器的裝置

§77. 电樞的通风器

根据干綫运输的牵引电动机运转的情况，自通风的电动机的通风器需要保証当电樞在两个方向旋转时有同样的生产量。为了这个目的，这种通风器作成辐射式的风叶。

辐射式的风叶使通风器不能很好地利用，并大大地減低了它的生产量。通风器的生产量为其外直徑和放风叶的空间所限制。通风器的外直徑很少可能达到 $D_s = (1.4 \sim 1.5) D_a$ 的数值，而通常不超过

$$D_s = (1.2 \sim 1.3) D_a. \quad (253)$$

通风器是牵引电动机中受应力最大的零件中的一个，因它們的圆周速率和离心加速度比电樞本身的大得多。于是，有比例关系：

$$\frac{a_{\omega s}}{a_{\omega R}} = \frac{D_s^2}{D_R^2}, \quad (254)$$

式中 $a_{\omega s}$ 和 $a_{\omega R}$ ——作用于通风器的和电樞的离心加速度；

D_s 和 D_R ——通风器的和电樞的直徑。

相当于上述的直径之比的加速度之比为：

$$\frac{a_{\text{eff}}}{a_{\text{wa}}} = (1.2^2 \sim 1.5^2) = 1.44 \sim 2.25 \quad (255)$$

再加上电动机所承受的轴向惯性冲击，这些力可能使通风器的各部份，以及固定它的零件都超过弹性变形的极限。通风器的不平衡性所起影响是特别危险的。

由钢的或铝合金的叶片作成的集合式通风器的构造如图 286 所示。

单室式通风器（图 286, a）由载重盘 1 和气流的导向环 3 所构成。风叶 2 分布于它们两者之间，其折转的边缘用铆接或点焊焊接的方法固定在盘 1 和环 3 上。通风器的重量用螺丝钉 4 和垫圈 5 支持在电枢的零件 6 上。因此，载重盘 1 实际上是被固定住的，而通风器其余的零件则又固着在载重盘上面。由于盘 1 的厚度很薄，所以只能借螺钉 4 夹紧时在零件 6 和盘 1 的侧面间所产生的摩擦力来将盘 1 固定。这样的固定显然是不好的，并且在放螺钉 4 的孔的边缘，造成过应力。另外一个本质上的缺陷，是主离心力对于载重盘 1 所加的偏心作用。总的离心力 P_a 是加到距离盘 1a 的地方。这样，对于盘 1 与零件 6 固定的地方，就产生了一个使盘 1 弯曲的力矩。如果不具有足够的横向硬度并使盘和环的风叶间没有许多的连接点，则这种通风器在固定部份是不够可靠的。它仅可能用在很低速率的电动机中。对于在线路上牵引的电动机，这种型式的通风器是不能认为是合适的。

比较改良些的集合式双室通风器如图 286, b 所示。把带有气流导向环 3 和 5 的风叶 2 和 4 固定在盘 1 的两面，如象在单室通风器中一样。但在这种情况下，由于两室的力矩 $P_a a_1$ 和 $P_a a_2$ 的互相平衡，故使盘 1 弯曲的影响就不大了。因此，在盘 1 用螺钉 7 固定到电枢零件 6 的地方，就不致发生对通风器和其固定零件在强度有危险性的弯曲。

同时，在现在研究的这种构造中，仍是借螺丝钉将盘 1 固定到电枢零件 6 上去的地方所产生的摩擦力，来实现固定作用的。

在图 287 中，表出了由钢的或矽铝合金的元件所铸造的通风器的例子。其中图 287, a 中表示一边有载重盘的双室铸造通风器。带气流导向环的两个小室位于盘的一边。通风器 1 固定在电枢后端压垫的配合环上或用外配合的方法装在整流子套管上。通常他是先经加热而后装上，并以带垫圈 3 的螺丝钉 2 来固定着。与此同类型

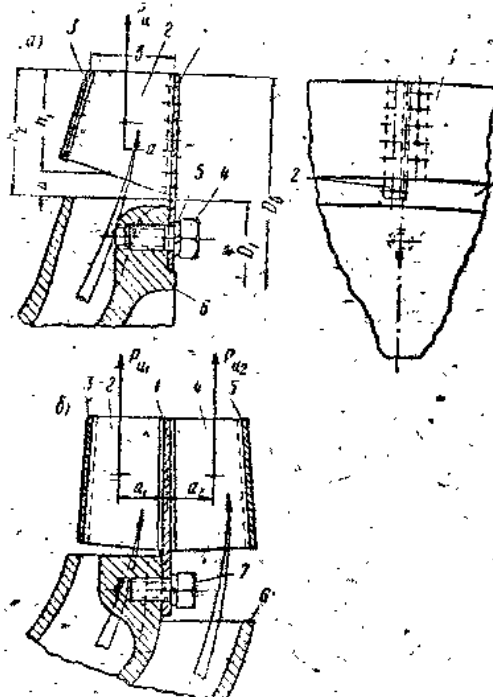


图 286. 集合式通风器：
— 单室的； — 双室的

样的通风器很广泛的应用在现代的牵引电动机中。

单室通风器也有作成类似的形式的，所不同者，只是在单室通风器中没有中间的气流导向环。小室由外面的气流导向环、风叶和载重盘所组成。虽然这种式样的通风器有较广泛的发展，但仍具有下列的缺点：关于离心力对主载重盘的偏心作用的缺点，以及外配合在许多情形下将削弱固定的作用和损坏通风器的缺点。

较坚固的构造如图 287, 6 所示。在这种构造中，由于不用气流导向环并减轻了风叶；离心力的偏心作用的影响所以就大大的减低了。在这种构造中通风器的载重盘大大的加强，并改用了内配合。为了保证消除通风器的不平衡影响，在盘上预先装置了特殊的附加部份，在平衡的时候，它是可以取下的。这样构造的通风器成功地运用于牵引电动机 ДПИ-150 型和 ДК-103A 型中。由于没有气流导向环，某些气体动力性能变坏了，这是它的缺点。但这类构造的特点是在运用中通风器有高度的坚固性和可靠性。

钢焊接的通风器也有做成这种型式的。经过磨旋的焊接通风器的盘有牢固的厚度并可能用内轻压配合。风叶以特种的氩焊法焊到盘上去。为了消除内部的局部应力，在通风器焊接之后给以退火。

图 288 表示直接安装在轴上或电枢的套管上的通风器的构造。铸钢的或砂铝合金的通风器的构造很重，并有很大的毅，这样借助于裕量，就保证能足够坚固的固定到电枢的轴或套管上去。为了提高通风器主盘的硬度，将风叶部份改变为联接到轮毂上去的稜片，这些稜片既能加强通风器的结构，同时还有风叶的作用，以提高生产量。将通风器配合到轴上或套管上可以用键，也可以不用键。在这种情形下，通风器的毅通常用作靠近轴承的远距的或曲折的套管。

应设法使通风器有最合理的形式和大小，以得到较大的通风效力。图 286 和 287 所示的通风器有辐射的风叶。

这些通风器（看图 286）的大小通常是按最大的生产量来选择的，其尺寸等于：

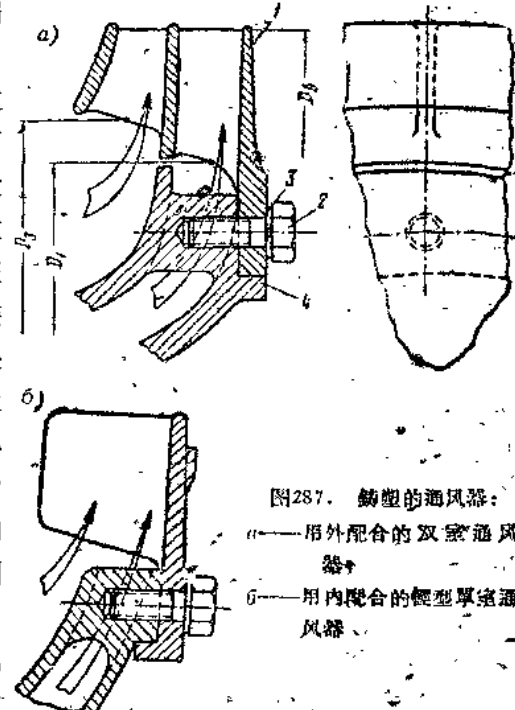


图 287. 铸型的通风器：
1—用外配合的双室通风器；
2—用内配合的铸型单室通风器

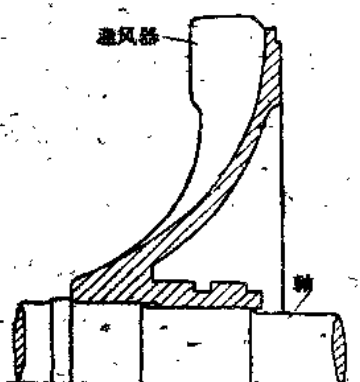


图 288. 通风器在电枢轴上的配合

$$h_2 = \frac{D_s + D_g}{2}, \quad (256)$$

$$\Delta = (0.3 + 0.4) h_2, \quad (257)$$

叶宽
叶数大致采用

$$m \approx 1.1 \frac{\pi D_s}{h_2}. \quad (258)$$

通常通风器有12到24个风叶。当选择叶数时，应考虑到如果过份的增加其数目，就减小了通风器出孔的有效截面，因此就可能减低其生产量。

按全苏铁道科学研究院的研究，ДПИ 150型的牵引电动机的生产量与其

表12

风叶数 (m)	通风器的生产量 (米 ³ /分钟)	风叶数 (m)	通风器的生产量 (米 ³ /分钟)
0	6*	18	19.8
8	16	24	20.0
12	17.8		

* 当m=0时，表中所示之通风生产量是由通风器壁的和电枢的通风效应所产生。

全苏铁道科学研究院的实验得到的该电动机之数据，如表12所示。

邻近的两通风叶之间的距离或叶距以下列公式求之：

$$t = \frac{\pi D_s}{m} = (1.25 \sim 1.5) b. \quad (260)$$

II. 通 风 特 性

§79 牵引电动机通风系统的特性[1.6]

标志电动机通风系统的特性的是通过电动机的空气量（体积）或空气的消耗、压力或压力头，以及空气的运行速度。

经过电动机排出来的空气量，应能保证其持续状态时的容量，而不受任何时间的限制。

显然，当电动机在持续情况下运转时，冷却空气需要把电枢各部份和磁极绕组中由于能量的损耗而散出的全部热量带走，即应该有下列的平衡：

$$\begin{aligned} \Sigma \Delta P &\propto t = Q \gamma c \tau_e t, \\ \Sigma \Delta P &\propto = Q \gamma c \tau_e, \end{aligned} \quad (261)$$

式中 $\Sigma \Delta P \propto$ — 持续状态时电动机里耗损的功率；

Q — 单位时间通过的冷却空气体积；

γ — 空气的密度；

c — 空气的比热；

τ_e — 空气的温升；

t — 时间。